

## 1. 緒言

著者は橋梁下部構造の振動性状は弾性動搖振動で、しかも動搖振動が卓越した1次振動が支配的であることを強調してきた。しかし橋梁全体からすれば各下部構造と上部構造はそれ各自別個の自由度を有しているので、地震動を受けた場合には当然連成振動としての性状を示すものと考えられる。ただしこの場合径間数が多くなると必然的にそれだけ多自由度となるので、その解析は困難となる。そこでここでは基礎的な考察として1, 2径間橋という少數径間の場合を対象とした。地震動に対する橋梁上下部構造の連成振動は從来からほとんど解明されていなかつたので、本研究を行ったわけである。

## 2. 下部構造の頂部における1自由度置換

図-1(1)に示した下部構造ABCをその頂部Cにおいて、1自由度に置換した場合の振動質量m、減衰係数c、バネ係数k及び作用地震力  $F_0 w'$  は次式で与えられる。

$$\left. \begin{aligned} m &= \frac{1}{g \eta_c^2} \left\{ \frac{W_1}{d} \int_{z_1}^d \eta_1^2 dx_1 + \frac{W_2}{h} \int_{z_2}^h \eta_2^2 dx_2 \right\}, \quad c = \frac{1}{2g \eta_c^2} \left\{ \frac{c_1 W_1}{d} \int_{z_1}^d \eta_1^2 dx_1 + \frac{c_2 W_2}{h} \int_{z_2}^h \eta_2^2 dx_2 + c' b_1 \int_{z_1}^d \eta_1^2 dx_1 \right\}, \\ k &= b_2 P / 2c \quad F_0 w' = \left\{ \frac{W_1}{d} \int_{z_1}^d \eta_1^2 dx_1 + \frac{W_2}{h} \int_{z_2}^h \eta_2^2 dx_2 \right\} \frac{k_0}{\eta_c} \end{aligned} \right\} \quad \text{---(1)}$$

ここで、  $W_1$ 、  $d$ 、  $c_1$ 、  $\eta_1$ ：根入部の全重量、根入長、粘性係数、変位曲線、  $W_2$ 、  $h$ 、  $c_2$ 、  $\eta_2$ ：地上部の全重量、高さ、粘性係数、変位曲線、  $b_2 P$ ：頂部假想水平荷重、  $\eta_c$ ：頂部Cの変位量、  $c'$ ：地盤の粘性係数、  $k_0$ ：水平震度、  $b_1$ 、  $b_2$ ：根入部、地上部の奥行幅。

## 3. 橋軸に平行方向1径間橋の定常振動

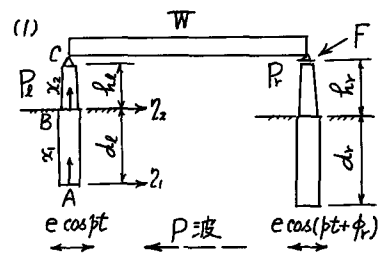
図-1(1)の1径間橋が橋軸方向にP波を受けた場合の振動モデルは式(1)を参照して図-1(2)となる。

$$\left. \begin{aligned} M_e &= m_e + M, \quad M_r = m_r, \quad W_e = w_e' + W, \quad W_r = w_r', \\ F &= \frac{1}{2} \mu W, \quad W = Mg, \quad m, w': \text{式(1)}, \quad W: \text{上部構造の重量}, \quad \mu: \text{支承部の摩擦係数}, \quad \phi_r: \text{地震動の位相差}, \quad \alpha: \text{連成位相差} \end{aligned} \right\} \quad \text{---(2)}$$

かくして図-1(2)に対する運動方程式は

$$\left. \begin{aligned} M_e \ddot{y}_{ce} + C_e \dot{y}_{ce} + k_e y_{ce} \pm F &= F_0 W_e' \cos(pt - \alpha), \\ M_r \ddot{y}_{cr} + C_r \dot{y}_{cr} + k_r y_{cr} \pm F &= F_0 W_r' \cos(pt + \phi_r - \alpha) \end{aligned} \right\} \quad \text{---(3)}$$

上式の  $\pm F$  を時刻tに関するFourier級数に展開してその第1項のみをとる。しからば左右両橋脚の



(2)振動モデル

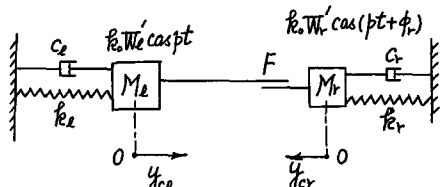


図-1. 橋軸に平行方向

定常振幅  $A_L, A_r$  は静変位  $A_{L0}, A_{r0}$  に対する比として次式で求まる。

$$\left| \frac{A_L}{A_{L0}} \right| = \frac{n_L^2}{\sqrt{(n_L^2 - p^2)^2 + 4G_L^2 p^2}} \sqrt{1 - \frac{8}{\pi} \left( \frac{F}{k_0 W_L} \right) \cos \alpha + \left( \frac{4}{\pi} \frac{F}{k_0 W_L} \right)^2}, \quad \left| \frac{A_r}{A_{r0}} \right| = \frac{n_r^2}{\sqrt{(n_r^2 - p^2)^2 + 4G_r^2 p^2}} \sqrt{1 - \frac{8}{\pi} \left( \frac{F}{k_0 W_r} \right) \cos(\phi_r - \alpha) + \left( \frac{4}{\pi} \frac{F}{k_0 W_r} \right)^2} \quad \cdots \cdots (4)$$

#### 4. 橋軸に直角方向 1, 2 組間橋の定常振動

図-2(1) の 1 組間橋が橋軸方向から S 波を受けた場合の振動モデルは式(1), (2) を直角方向に書きかえることによって図-2(2) がえられる。ただし上部構造の剛性は板バネ  $k_g$  で表わし、上部構造の重量  $W$  は両橋脚に分担される。次に図-2(2) に対する運動方程式を成り立つ。

$$\begin{aligned} M_L \ddot{y}_{L0} + G_L \dot{y}_{L0} + k_L y_{L0} + k_g (y_{L0} - y_{r0}) &= k_0 W_L \cos pt, \\ M_r \ddot{y}_{r0} + G_r \dot{y}_{r0} + k_r y_{r0} + k_g (y_{r0} - y_{L0}) &= k_0 W_r \cos(pt + \phi_r) \end{aligned} \quad \cdots \cdots (5')$$

この定常解は、

$$y_{L0} = B_1 \cos pt + B_2 \sin pt, \quad y_{r0} = B_3 \cos pt + B_4 \sin pt \quad \cdots \cdots (6)$$

とかけた。式(6)を式(5')に代入して  $\cos pt, \sin pt$  の各係数を 0 に等しいとおくことにより、 $B_1 \sim B_4$  が決まるので定常解が求まる。次に 2 組間橋の場合は式(5')に中央橋脚を表わす  $y_c$  に関する 1 個の式を加えるので、結局  $B_1 \sim B_6$  に関する 6 元 1 次式を計算して  $B_1 \sim B_6$  を決定すればよいわけである。

#### 5. 橋軸に直角方向 1 組間橋の過渡振動

図-2(1) の 1 組間橋が  $t=0$  で静止している、 $P_L$  が突然  $e \cos pt$  を受けた後、 $P_L$  が  $t=\phi/p$  だけ遅れて  $e \cos pt$  を受けた場合を対象とする。このときの運動方程式に Laplace 変換  $L\{y(t)\} = Y(s)$  を施すと次式がえられる。

$$(M_L s^2 + G_L s + k_L + k_g) Y_{L0}(s) - k_g Y_{r0}(s) = k_0 W_L \frac{s}{s^2 + p^2} e^{\frac{-\phi s}{p}}, \quad (M_r s^2 + G_r s + k_r + k_g) Y_{r0}(s) - k_g Y_{L0}(s) = k_0 W_r \frac{s}{s^2 + p^2} e^{\frac{-\phi s}{p}} \quad \cdots \cdots (7)$$

これら  $Y_{L0}(s), Y_{r0}(s)$  が求まるので逆変換して次の過渡解がえられる。

$$y_{L0}(t) = L^{-1}\{Y_{L0}(s)\} = \sum_{\sigma_r = \pm i\sqrt{p^2 - k_g^2}} \lim_{s \rightarrow \sigma_r} (s - \sigma_r) e^{st} Y_{L0}(s), \quad y_{r0}(t) = L^{-1}\{Y_{r0}(s)\} = \sum_{\sigma_r = \pm i\sqrt{p^2 - k_g^2}} \lim_{s \rightarrow \sigma_r} (s - \sigma_r) e^{st} Y_{r0}(s) \quad \cdots \cdots (8)$$

#### 6. 数値計算適用結果

上記の各理論式を 2, 3 の橋梁に適用して数値計算を行った結果を示す。

(1) 橋桁可動端支承部の摩擦力  $F$  は実際上この系の復元力、減衰力、地震力に比べて大きくなっていることから、 $F$  のみによる連成拘束度はかなり小さい。(2) 少数組間橋に作用する地震動の相対位相差中には連成定常振幅のみが異なるからすれば、それ程大きい影響はない。また(3) 上部構造の剛性バネ  $k_g$ 、 $k_g$  に比べてかなり大きいことから、連成 1 次の固有周期は各下部構造個々の固有周期とあまりよく近似する。

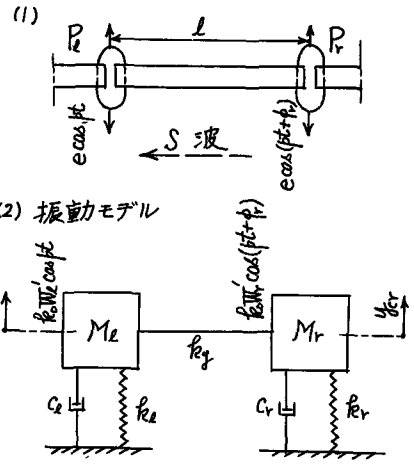


図-2 橋軸に直角方向